

40/82

Ministère de l'Enseignement et de la Recherche Scientifique

UNIVERSITE DES SCIENCES ET DE TECHNOLOGIE D'ALGER

Ned

U. S .T. A.

ECOLE NATIONALE POLYTECHNIQUE

Département d'Eléctricité

Ingénierat d'état en électrotechique

ELECTRONIQUE

PROJET DE FIN D'ETUDES

CONTROLE ET SIMULATION

D'UNE COLONNE DE DISTILLATION

Proposé par:

Mr J.P. GAUTHIER

Etudié par :

Nouari MESSALI

Saïd BOUSSAID



Ministère de l'Enseignement et de la Recherche Scientifique

UNIVERSITE DES SCIENCES ET DE TECHNOLOGIE D'ALGER

U. S .T. A.

ECOLE NATIONALE POLYTECHNIQUE

Département d'Électricité

Ingénierat d'état en électrotechique

PROJET DE FIN D'ETUDES

CONTROLE ET SIMULATION

D'UNE COLONNE DE DISTILLATION

Proposé par:

Mr J.P. GAUTHIER

Etudié par :

Nouari MESSALI

Saïd BOUSSAID

Promotion Juin 1982

Dédicaces
~.~.~.~.~.

Jwigad yéñwazgen deg îles,
J wigad ittawagnen ñef tidiñ,
J bdukawm yeññuren ñ-ñifexsa,
J warrac g-gwassa, irgazen uzeke.

A la mémoire de ma grand-mère
qui restitua son âme avant
de goûter au fruit mûr de son
arbre.

Saïd

Je dedie ce modeste travail à :

- Ma grand-Mère

- A mon père qui fut mon premier guide
sur le chemin de l'école.

- A ma mère,

- A mes frères et sœurs.

Youness

Remerciements

Nous tenons à exprimer ici notre profonde reconnaissance
à M^e J.P. Gauthier notre promoteur, pour nous avoir prodigué
d'utiles conseils, mis à notre disposition une documentation
complète et pour nous avoir fait bénéficier de ses connaissances
qui nous ont permis de mener ce projet à sa fin.
Que tous ceux qui ont contribué à la mise en œuvre de ce
polycopier, de si peu soit-il, trouvent ici l'expression de
notre sincère gratitude.

Saïde

Touravis (younes)

~ Sommaire ~

I. INTRODUCTION

II. PRESENTATION DU MODELE NON-LINEAIRE

III. CONTROLABILITE DES SYSTEMES NON-LINEAIRES

- Application au modèle de colonne proposée.

IV. DETERMINATION DE U_1 ET U_2 POSITIVES

V. SIMULATION

5.1. Organigramme de l'intégration

5.2. Programme

5.3. Application

5.4. Remarques

5.5. Interprétation des résultats

VI. CONCLUSIONS

I. INTRODUCTION

Le point de départ de ce travail est constitué par le projet [1].

Dans ce projet le problème suivant est traité:

Un modèle non linéaire d'une colonne de distillation binaire est proposé.

Le problème de la réjection des perturbations pouvant apparaître sur l'alimentation de la colonne est ensuite posé, et résolu directement par les méthodes proposées récemment par ISIDORI - KRENE et HIRSHON [6], [7] et [8].

Les résultats de ce travail sont les suivants:

- On a pu trouver la classe de toutes les commandes par retour d'état non linéaire qui repettent les perturbations dues à x_F .
- On a mis en évidence le fait que, dans ce cas, l'approche par le système linéaire et les techniques linéaires posent un problème, et est, d'un certain point de vue, plus difficile que l'approche non linéaire directe.

Au paragraphe II, on donne une présentation du modèle proposé pour la colonne, suivi au paragraphe III de la condition de contrôlabilité des systèmes non linéaires avec l'application au modèle proposé.

Au paragraphe IV on détermine les commandes U_1 et U_2 positives, suivies au paragraphe V de la simulation avec application à un cas tout à fait arbitraire de colonne à distiller, enfin on donne quelques conclusions au chapitre VI.

Notations utilisées

j : numéro du plateau

n : nombre de plateaux

α : volatilité relative du produit de tête par rapport au produit de fond (cas binaire)

x_j : concentration liquide du produit de tête dans le plateau j (cas binaire)

y_j : " vapeur _____ au _____ ()

M_j : coefficient d'équilibre liquide-vapeur du produit de tête au plateau j exprimé en fonction de α et x_j ()

x_F : concentration liquide d'alimentation (en produit de tête) ()

L_j : débit liquide molaire du plateau j [moles/T]

L_s : débit molaire de reflux du condenseur (liquide) []

L_F : débit molaire liquide d'alimentation []

L_B : débit liquide de soutirage du rebouilleur (molaire) []

V_j : débit molaire vapeur du plateau j []

H : retenue molaire (liquide) du plateau j [moles]

H_B : _____ du rebouilleur []

H_D : _____ du condenseur []

1.

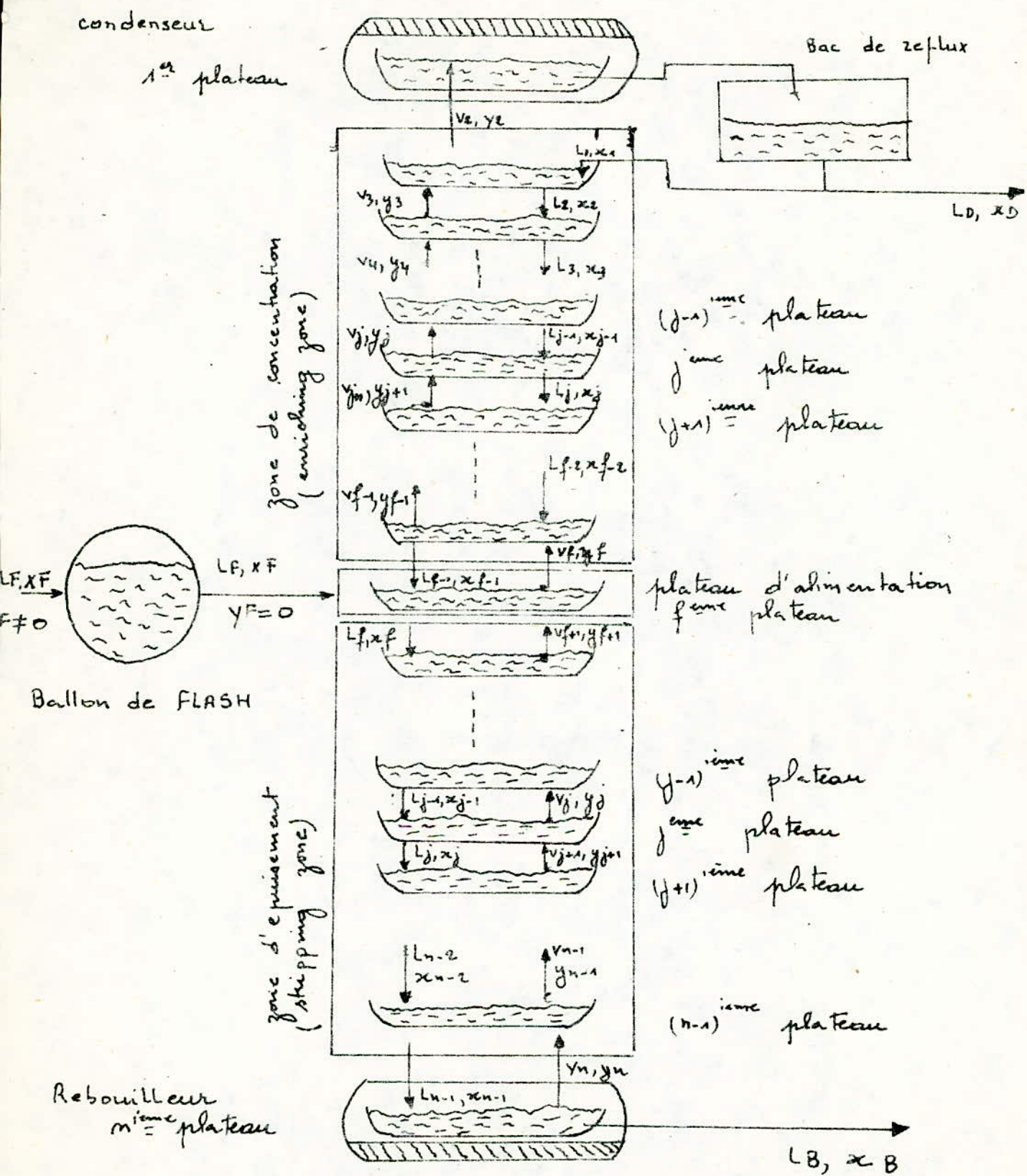


fig (1)

II. REPRESENTATION DU MODELE NON LINEAIRE

Le procédé modélisé est une colonne de distillation à plateaux binaires schématisé sur la figure (1).

Le mélange traité est binaire, la colonne comporte m plateaux y compris le rebouilleur et le condenseur.

Le modèle de la colonne est constitué par :

- Les équations de conservation de matière et d'énergie.

- Le modèle thermodynamique

Les hypothèses de travail sont les suivantes :

1- L'étanchéité de la colonne est idéale, d'où l'impossibilité d'échanges parasites de matière avec le milieu extérieur.

2- La colonne est parfaitement isolée thermiquement,

i.e. pas d'échanges de chaleur parasites avec l'extérieur et entre plateaux.

3- La volatilité relative du mélange binaire est constante tout le long de la colonne.

4- Les plateaux $j=2$ jusqu'à $j=m-1$ sont parfaitement identiques, il en sera de même avec les retentions molaires qui seront de plus constantes dans le temps.

5- L'idéalité des plateaux est de 100%.

6- La totalité de la vapeur est condensée dans le plateau 1 (condenseur).

7- L'alimentation se fait exclusivement en liquide (le liquide étant en son point de bulle).

8- Le temps mort entre la condensation de la vapeur et le reflux du distillat est négligé (les constantes de temps hydrauliques sont négligeables devant les thermiques).

g - Il n'y a pas de pertes de charges dans la colonne, il en découle que la pression est constante tout le long de la colonne.

CONSEQUENCES directes: De ces hypothèses, on tirera des conséquences simplificatrices :

- les flux molaires liquides si travers la zone d'épuisement seront les mêmes, idem pour ceux de la zone de rectification.

$$\text{ie: } j \in [2, f-1] , L_j = L_s , V_j = V$$

$$j \in [f, m-1] , L_j = L_f + L_s , V_j = V$$

- le flux de vapeur est constant tout le long de la colonne.

Le modèle est alors donné par :

$$(2.1) \quad \begin{cases} j=1 & \dot{x}_1 = \frac{V}{H_D} (M_2 x_2 - x_1) \\ 2 \leq j \leq f-1 & \dot{x}_j = \frac{L_s}{H} (x_{j-1} - x_j) + \frac{V}{H} (M_j x_{j+1} - M_j x_j) \\ j=f & \dot{x}_f = \frac{L_s}{H} (x_{f-1} - x_f) + \frac{V}{H} (M_f x_f - M_f x_f) - \frac{L_f}{H} x_f + \frac{L_f}{H} x_F \\ f+1 \leq j \leq m-1 & \dot{x}_j = \frac{L_s}{H} (x_{j-1} - x_j) + \frac{V}{H} (M_j x_{j+1} - M_j x_j) + \frac{L_f}{H} (x_{j-1} - x_j) \\ j=m & \dot{x}_m = \frac{L_s}{H_B} (x_{m-1} - x_m) + \frac{V}{H_B} (x_m - M_m x_m) + \frac{L_f}{H_B} (x_{m-1} - x_m) \end{cases}$$

$$\text{Avec } M_j = \frac{\alpha}{1 + (\alpha - 1)x_j}$$

Le système ci-dessus peut s'écrire sous la forme vectorielle et matricielle. (II)

$$\text{En posant } u_1 = \frac{L_s}{H} , u_2 = \frac{V}{H} , q_1 = \frac{L_f}{H} , q_2 = \frac{L_f x_F}{H}$$

$$(2.2) \quad \begin{cases} \dot{x} = A_1(x) u_1 + A_2(x) u_2 + B(x) + b \\ y = h(x) = \begin{pmatrix} x_1 & \dots & x_m \end{pmatrix}^T \end{cases}$$

Les entrées actions seront : le débit vapeur V

- le débit du réfleux L_s

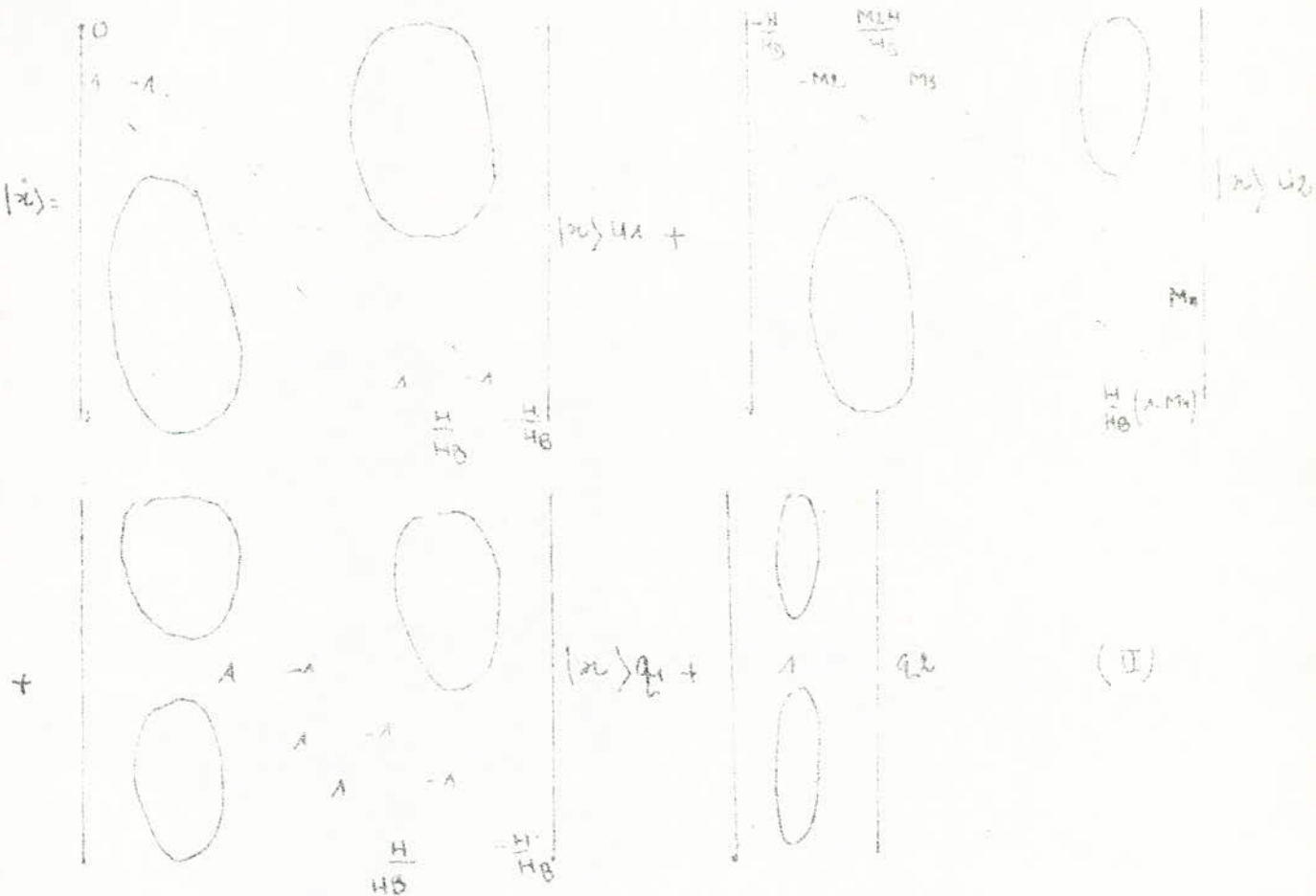
Les entrées perturbantes : - La concentration d'alimentation x_f

- le débit d'alimentation L_F (supposé constant)

Les sorties à réguler sont : - La concentration du produit de tête x_n

- La concentration du produit de fond x_m

x_n	0	$\frac{M_2 x_{n-2} - x_1}{H}$	0	0
x_{n-2}	$\frac{x_1 - x_{n-2}}{H}$	$\frac{M_3 x_{n-3} - M_2 x_{n-2}}{H}$	0	0
x_j	$\frac{x_{j+1} - x_j}{H}$	$\frac{M_j x_{j+1} - M_{j-1} x_j}{H}$	0	0
x_{j-1}	$\frac{x_{f-2} - x_{f-1}}{H}$	$\frac{M_f x_f - M_{f-1} x_{f-1}}{H}$	0	0
x_f	$\frac{x_{f-1} - x_f}{H}$	$\frac{M_{f+1} x_{f+1} - M_f x_f}{H}$	$-\frac{x_f}{H}$	$\frac{L_F}{H}$
x_{f+1}	$\frac{x_f - x_{f+1}}{H}$	$\frac{M_{f+2} x_{f+2} - M_{f+1} x_{f+1}}{H}$	$\frac{x_f - x_{f+1}}{H}$	0
x_j	$\frac{x_{j+1} - x_j}{H}$	$\frac{M_{j+1} x_{j+1} - M_j x_j}{H}$	$\frac{x_j - x_{j+1}}{H}$	0
x_m	$\frac{x_{n-2} - x_{n-1}}{H}$	$\frac{M_n x_n - M_{n-1} x_{n-1}}{H}$	$\frac{x_{n-2} - x_{n-1}}{H}$	0
x_n	$\frac{x_{n-1} - x_n}{H}$	$\frac{x_n - M_n x_n}{H}$	$\frac{x_{n-1} - x_n}{H}$	0



Remarques:

L'espace d'état physique est le cube ouvert $M = \{0, 1\}^m$ (voir [1])

Les états stationnaires satisfont les relations

$x_{j-1} > x_j$ pour $j = 2, \dots, f-1, f+1, \dots, m$ de plus ce domaine est positivement invariant.

L'espace d'état significatif est donc le domaine :

$$X = \{x \in M / x_{j-1} > x_j, j = 2, \dots, f-1, f+1, \dots, m\}$$

Cette propriété sera utilisée au chapitre II

Nous avons pris le soin d'être bref dans ce paragraphe toute personne désirant savoir plus sur les colonnes à distiller trouverait un complément dans les références bibliographiques [1], [2], [3], [4] et [5].

III. CONTROLABILITE DES SYSTEMES NON LINEAIRES

(APPLICATION AU MODELE DE LA COLONNE PROPOSEE)

DEFINITION 1: On appelle algèbre de Lie, tout sous espace vectoriel réel (ou complexe) muni d'une loi de composition interne, notée $[.,.]$, bilinéaire, antisymétrique vérifiant :

$$\text{l'identité de Jacobi} \quad [[x,y],z] + [[y,z],x] + [[z,x],y] = 0$$

DEFINITION 2: On appelle système la donnée des objets suivants :

i) Une variété C^∞ , M connexe, appelée "espace d'état".

ii) Une famille \mathcal{F} de champs de vecteurs C^∞ sur M .

Le système sera dit complet si tous les champs de vecteurs C^∞ de $\mathcal{L}(\mathcal{F})$, la sous algèbre de Lie (de l'algèbre de Lie des champs de vecteurs C^∞ sur M) engendrée par \mathcal{F} sont complets.

$\mathcal{L}(\mathcal{F})$ est appelée "Algèbre de Lie du système".

Quand la famille \mathcal{F} est paramétrée par un paramètre u de U (ensemble quelconque), on dit que u est l'"entrée" du système, et U l'"espace d'entrée".

iii) Une application h , C^∞ de M dans \mathbb{R}^P (h est appelée "fonction de sortie", et \mathbb{R}^P "espace de sortie").

Théorème: Soit $\Sigma = (M, \mathcal{F}, h)$ un système. Si $\mathcal{L}(\mathcal{F})$ est de rang $m = \dim(M)$ partout sur M , alors Σ est faiblement contrôlable.

Physiquement, le théorème signifie que l'espace des états accessibles à partir d'un état x_0 donné est d'intérieur non vide.

Comme nous le remarquez, nous ne parlons que de la faible controllabilité des systèmes non linéaires.

Pour avons pris le soin de formuler le stricte minimum de cette théorie, toute fois, toute personne voulant approfondir la question, trouvera ample satisfaction dans les references bibliographiques : [9], [10] et [11].

3.1. APPLICATION DU THEOREME DE CONTROLABILITE AU SYSTEME ETUDIE.

Notre systeme s'ecrit sous la forme:

$$\dot{x} = A_1(x) u_1 + A_2(x) u_2 + B(x) + b$$

La famille de champs de vecteurs \mathcal{F} est:

$$\mathcal{F} = \{ X, Y^1, Y^2 \} \quad \text{avec} \quad X = B(x) + b$$

$$Y^1 = A_1(x)$$

$$Y^2 = A_2(x)$$

L'algebre de Lie engendree par \mathcal{F} , notee $\mathcal{L}(\mathcal{F})$ est de la forme:

$$\mathcal{L}\left(\{B(x)+b, A_1(x), A_2(x)\}\right)$$

Rang de l'algebre de Lie engendree par \mathcal{F}

Afin de determiner le rang de $\mathcal{L}(\mathcal{F})$, on s'interesse au nombre de crochets linerairement independants qu'on peut former a partir de la famille \mathcal{F} et ce par d'eventuelles combinaisons lineaires.

Calcul du crochet $[x, y'](x)$

$$[x, y'] = xy' - y'x$$

$$xy' = \begin{vmatrix} & & f \\ & & \vdots \\ & & \vdots \\ & & 1 \\ & & \vdots \\ & & 1 & -1 \\ & & \vdots & \vdots \\ & & 1 & -1 \\ & & \vdots & \vdots \\ & & H & -\frac{H}{HB} \end{vmatrix} \quad \begin{vmatrix} & & 0 \\ & & \vdots \\ & & \vdots \\ & & x_{f-1} - x_f \\ & & x_f - x_{f+1} \\ & & \vdots \\ & & x_{j-1} - x_j \\ & & x_{m-2} - x_{n-1} \\ & & \vdots \\ & & \frac{H}{HB}(x_{n-1} - x_n) \end{vmatrix} = \begin{vmatrix} & & 0 \\ & & \vdots \\ & & \vdots \\ & & x_f - x_{f-1} \\ & & x_{f-1} - 2x_f + x_{f+1} \\ & & \vdots \\ & & x_{j-2} - 2x_{j-1} + x_j \\ & & \vdots \\ & & x_{n-3} - 2x_{n-2} + x_{n-1} \\ & & \vdots \\ & & \frac{H}{HB}(x_{n-1} - x_n) \end{vmatrix}$$

$$\begin{array}{c}
 \text{Diagram showing } y'x = f \\
 \text{A shaded region bounded by } y'x = f \text{ and } y'x = 1 \\
 \text{The region is divided into vertical strips of width } \frac{H}{H_B} \\
 \text{The area of each strip is } \frac{H}{H_B} \cdot \frac{H}{H_B} = \frac{H^2}{H_B^2}
 \end{array}
 \quad \left| \begin{array}{c} 0 \\ 1-x_f \\ x_f - x_{f+1} \\ x_{j-1} - x_j \\ \vdots \\ x_{n-2} - x_{n-1} \\ \frac{H}{H_B} (x_{n-1} - x_n) \end{array} \right| = \left| \begin{array}{c} x^{f-1} \\ x^{f-1} - 1 \\ x^{f-2} - 2x^{f-1} + x_f \\ \vdots \\ x^{n-3} - 2x^{n-2} + x^{n-1} \\ \frac{H}{H_B} (x^{n-2} - x^{n-1}) - \left(\frac{H}{H_B}\right)^2 (x^{n-1} - x_n) \end{array} \right|$$

$$\left[x, y' \right] = f \quad \left| \begin{array}{c} 1-x_{f-1} \\ x_{f-1} - 1 \end{array} \right| = \text{Ad}_x^{f+1} \left([x, y'] \right) (n)$$

$$1 - x_{f-1} \neq 0 \quad \text{pour tout } x \in]0, 1[\quad ^m = M$$

On adopte la loi de récurrence ci-dessous:

$$\left\{ \begin{array}{l} \text{Ad}_x^k ([x, y']) (x) = \left[\text{Ad}_x^{k-1} ([x, y']) (x), X \right] (n) \\ \text{Avec } k = f+2, f+3, \dots, m. \end{array} \right.$$

qui nous permet de générer avec $\text{Ad}_x^{f+1} ([x, y']) (n)$, $(m-f)$ crochets.

Determination de La forme de ces $(n-f)$ crochets

Calcul de $\text{Ad}_X^{f+2}([x, y])(x)$

$$\text{Ad}_X^{f+2}([x, y])(x) = [\text{Ad}_X^{f+1}([x, y])(x), X](x) = [[x, y], X](x)$$

$$[[x, y], X] = D_x X / [x, y](x) - D_{x'} [x, y] / X(x)$$

$$D_x [x, y] / X(x) = \begin{vmatrix} & & & f-1 & \\ & & & -1 & \\ & & & 1 & \\ p & & & & \\ & & & & \\ & & & & \end{vmatrix} = \begin{vmatrix} & & & 1-x_f & \\ & & & x_f - x_{f+1} & \\ & & & & \\ & & & & \end{vmatrix} = \begin{vmatrix} & & & \frac{H}{H_B}(x_{n-1} - x_n) & \\ & & & & \\ & & & & \end{vmatrix}$$

$$D_x X / [x, y] = \begin{vmatrix} & & & f & \\ & & & -1 & \\ & & & 1 & -1 \\ p & & & & \\ & & & & \\ & & & & \end{vmatrix} = \begin{vmatrix} & & & 1-x_{f-1} & \\ & & & x_{f-1} - 1 & \\ & & & & \\ & & & & \end{vmatrix} = \begin{vmatrix} & & & -1+x_{f-1} & \\ & & & 2(1-x_{f-1}) & \\ & & & x_{f-1} - 1 & \\ & & & & \end{vmatrix}$$

$$\frac{H}{H_B} \quad -\frac{H}{H_B}$$

$D_x X$ et $D_x [x, y]$ representent respectivement les matrices Jacobiniennes de X et $[x, y]$

$$[[x, y'], x](n) = \begin{vmatrix} 0 & & \\ & 1 - x_{f-1} & \\ & 2(x_{f-1} - 1) & \\ & 1 - x_{f-1} & \\ 0 & & \end{vmatrix}$$

Calcul de $\text{Ad}_x^{f+3}([x, y'])(n)$:

$$\text{Ad}_x^{f+3}([x, y'])(n) = [[x, y'], x, x](n)$$

$$D_x [[x, y'], x] / X(n) = \begin{vmatrix} f-1 & & & & & \\ & 1 - x_{f-1} & & & & \\ & & 1 - x_{f-1} & & & \\ & & & 1 - x_{f-1} & & \\ & & & & 1 - x_{f-1} & \\ & & & & & H/H_B (x_{n-1} - x_1) \end{vmatrix} =$$

$$D_x X / [[x, y'], x] = \begin{vmatrix} f & & & & & \\ & 1 - x_{f-1} & & & & \\ & & 1 - x_{f-1} & & & \\ & & & 1 - x_{f-1} & & \\ & & & & 1 - x_{f-1} & \\ & & & & & \frac{H}{H_B} - \frac{H}{H_B} \end{vmatrix} = \begin{vmatrix} & & & & & \\ & x_{f-1}-1 & & & & \\ & & 3(1 - x_{f-1}) & & & \\ & & 3(x_{f-1} - 1) & & & \\ & & 1 - x_{f-1} & & & \\ & & & & & 1 - x_{f-1} \end{vmatrix}$$

$$\text{Ad}_X^k = \begin{vmatrix} 0 & & & \\ 1 - xf_{-1} & & & \\ 3(xf_{-1} - 1) & & & \\ -3(xf_{-1} - 1) & & & \\ xf_{-1} - 1 & & & \\ 0 & & & \end{vmatrix}$$

Remarques:

1) Vu la structure de $\text{D}_n \text{Ad}_X^{k-1}([x, y])(n)$ et celle de $X(n)$ on a toujours $\text{D}_n \text{Ad}_X^{k-1}([x, y])(n) / X(n) \equiv 0$

Donc pour déterminer $\text{Ad}_X^k([x, y])(n)$, il suffit de calculer $\text{D}_n X / \text{Ad}_X^{k-1}([x, y])(n)$

2) Tous les crochets et ce à compter de $k = f+1, \dots, m-1$, s'écrivent de la façon suivante:

$$\text{Ad}_X^k = \begin{vmatrix} 0 & & & \\ & 1 - xf_{-1} & & \\ & \boxed{} & & \\ & (-1)(xf_{-1} - 1) & & \\ & 0 & & \end{vmatrix}$$

Pour $b = m$ on a:

$$\text{Ad}^m_x = \begin{vmatrix} & \begin{matrix} 0 \\ 1 - xf_1 \\ \vdots \\ 1 \end{matrix} \\ f & \end{vmatrix} \\ (-1)^{\binom{m}{2}} \left(x f_1 - 1 \right) \frac{H}{HB}$$

On voit bien que tous ces "vecteurs" en crochets ne sont pas nuls car $1 - xf_1 \neq 0$ pour tout $x \in]0, 1[$.
Il est facile de vérifier que ces $(m-f)$ crochets sont linéairement indépendants.

Pour avoir les autres vecteurs on s'intéresse à la même forme de récurrence décrite précédemment, sauf que cette fois ci on utilise :

$$\left\{ \begin{array}{l} \text{Ad}^f y^2 ([y^2, z])(x) = [y^2, z](x) = y^2 z - z y^2 \\ \text{et} \end{array} \right.$$

$$\left\{ \begin{array}{l} \text{Ad}^k y^2 ([y^2, z])(x) = [y^2, \text{Ad}^{k+1} y^2(y^2, z)](x) \\ \text{pour } k = f-1, f-2, \dots, 2. \end{array} \right.$$

Avec $\tilde{z}(x) = -[x, y^1] + [[x, y^1], x]$

$$\begin{array}{c|c|c} & \text{O} & \\ \hline \tilde{z}(x) = f. & & \\ \hline f_{+1} & x_{f-1} & \\ f_{+2} & 1 - x_{f-1} & \\ \hline & \text{O} & \end{array}$$

Calcul de $[y^2, z](x)$:

$$[y^2, z](x) = y^2 z - z y^2$$

$$\begin{array}{c|c|c|c|c|c} & f & f_{+1} & f_{+2} & & & \\ \hline \begin{matrix} \text{z} \\ y^2 \end{matrix} & \begin{matrix} \text{O} \\ \text{O} \\ \text{O} \end{matrix} & \begin{matrix} \text{O} \\ \text{O} \\ \text{O} \end{matrix} & \begin{matrix} \text{O} \\ \text{O} \\ \text{O} \end{matrix} & & & \\ \hline \begin{matrix} f \\ f_{+1} \\ f_{+2} \end{matrix} & \begin{matrix} x_{f-1} \\ 1 - x_{f-1} \\ x_{f-1} \end{matrix} & \begin{matrix} x_{f-1} \\ 1 - x_{f-1} \\ x_{f-1} \end{matrix} & \begin{matrix} x_{f-1} \\ 1 - x_{f-1} \\ x_{f-1} \end{matrix} & & & \\ \hline & \text{O} & \text{O} & \text{O} & & & \\ \hline & \text{O} & \text{O} & \text{O} & & & \end{array} = \begin{array}{c|c|c|c|c|c} & & & & & \\ \hline & a(x_{f-1} - 1) & & & & \\ \hline & (b - c)(x_{f-1} - 1) & & & & \\ \hline & d(1 - x_{f-1}) & & & & \end{array}$$

Avec :

$$a = \frac{\alpha}{(1 + (\alpha - 1)x_{f+1})^2}$$

$$b = -\frac{\alpha}{(1 + (\alpha - 1)x_{f+1})^2}$$

$$c = -\frac{\alpha}{(1 + (\alpha - 1)x_{f+2})^2}$$

$$d = -\frac{\alpha}{(1 + (\alpha - 1)x_{f+2})^2}$$

$$\begin{matrix} Y^2 \\ Z \end{matrix} \begin{matrix} f-1 \\ f \\ f+1 \\ f+2 \end{matrix} = \begin{vmatrix} 1 & \dots & 1 & 1 \\ 1 & \dots & 1 & 1 \\ 1 & \dots & 1 & 1 \\ 1 & \dots & 1 & 1 \end{vmatrix} \begin{vmatrix} (M_2x_2 - x_1) \frac{H}{H_B} \\ M_3x_3 - M_2x_2 \\ M_fx_f - M_{f-1}x_{f-1} \\ \vdots \\ \vdots \\ \vdots \\ H \frac{(x_n - M_nx_n)}{H_B} \end{vmatrix} = \begin{vmatrix} 0 \\ M_{f-1}x_{f-1} - M_fx_f \\ M_fx_f - M_{f-1}x_{f-1} \\ 0 \end{vmatrix}$$

$$\begin{bmatrix} Y^2 \\ Z \end{bmatrix} = \begin{matrix} f \\ f+1 \\ f+2 \end{matrix} \begin{vmatrix} 0 \\ -\frac{\alpha(x_{f-1}-1)}{(1+(\alpha-1)x_{f+1})^2} \\ (b-c)(x_{f-1}-1) - M_{f-1}x_{f-1} + M_fx_f \\ d(1-x_{f-1}) - M_fx_f + M_{f-1}x_{f-1} \end{vmatrix} = Ad^f y^2 ([Y^2, Z])(\alpha)$$

Calcul de $\text{Ad}^{f-1} y^2 ([y^2, z])(n)$:

$$[y^2, [y^2, z]](n) = y^2 [y^2, z] - [y^2, z] y^2 \\ = D_n [y^2, z] / y^2(n) - D_n y^2 / [y^2, z](n).$$

	f ₋₁	f	f ₊₁	f ₊₂		
$y^2 [y^2, z] =$	$\frac{f}{f_{+1}}$	a' 0 b'	c' d' e' i'	h' m' n' s'		
	f ₊₂	(empty circle)				
						$=$
					$\frac{H}{H_B} (M_{\alpha} x_2 - x_1)$	
					$M f x_f - x_{f-1} M f_{-1}$	
					$M f_{+1} x_{f+1} - M f x_f$	
					$M f_{+2} x_{f+2} - M f_{+1} x_{f+1}$	
					$M f_{+3} x_{f+3} - M f_{+2} x_{f+2}$	
					⋮	
					\vdots	
					$\frac{H}{H_B} (x_n - M_n x_n)$	

	f	(empty circle)				
	f ₊₁	$a'(M f x_f - M f_{+1} x_{f+1}) + b'(M f_{+1} x_{f+1} - M f x_f)$				
	f ₊₂	$c' \theta(n) + d' \beta(n) + e' \varphi(n) + i' \rho(n)$				
		$h' \theta(n) + m' \beta(n) + n' \varphi(n) + s' \rho(n)$				
		(empty circle)				

Avec $a' = -\frac{\alpha}{(1+(\alpha-1)x_{f+1})^2}, \quad b' = -\frac{\alpha(\alpha-1)(x_{f-1}-1)}{(1+(\alpha-1)x_{f+1})^3}$

$$c' = b - a, \quad d' = \frac{\alpha}{[1+(\alpha-1)x_f]^2}, \quad e' = -\frac{\alpha}{[1+(\alpha-1)x_f]^2} + \frac{\alpha(\alpha-1)(x_{f-1}-1)}{[1+(\alpha-1)x_f]^3}$$

$$i' = \frac{\alpha(\alpha-1)(x_{f-1}-1)}{[1+(\alpha-1)x_{f+2}]^2}, \quad h' = \frac{\alpha}{[1+(\alpha-1)x_{f+2}]^2}, \quad m' = -\frac{\alpha}{[1+(\alpha-1)x_f]^2}$$

$$\alpha' = \frac{\alpha}{(1 + (\alpha - 1)x_{f+1}^f)^2}$$

$$s' = \frac{\alpha(\alpha-1)(1-x_{f-1}^f)}{[1 + (\alpha - 1)x_{f+2}^f]^3}$$

$$\theta(x) = M_f x_f - M_{f-1} x_{f-1}^f$$

$$\beta(x) = M_{f+1} x_{f+1}^f - M_f x_f$$

$$\varphi(x) = M_{f+2} x_{f+2}^f - M_{f+1} x_{f+1}^f$$

$$\rho(x) = M_{f+3} x_{f+3}^f - M_{f+2} x_{f+2}^f$$

$$[y^2, z] y^2 = \begin{vmatrix} & f \\ & \alpha \\ f_{-1} & \left(\begin{array}{c|ccccc} & & & & & \\ \hline & & & & & \\ & & & & & \\ & & & & & \\ & & & & & \\ & & & & & \end{array} \right) \\ f_{-2} & \left(\begin{array}{c|ccccc} & & & & & \\ \hline & & & & & \\ & & & & & \\ & & & & & \\ & & & & & \\ & & & & & \end{array} \right) \end{vmatrix} = \begin{vmatrix} & 0 \\ & \frac{\alpha(x_{f-1}^f - 1)}{(1 + (\alpha - 1)x_{f+1}^f)^2} \\ f_{-1} & \left(\begin{array}{c|ccccc} & & & & & \\ \hline & & & & & \\ & & & & & \\ & & & & & \\ & & & & & \\ & & & & & \end{array} \right) \\ f_{-2} & \left(\begin{array}{c|ccccc} & & & & & \\ \hline & & & & & \\ & & & & & \\ & & & & & \\ & & & & & \\ & & & & & \end{array} \right) \end{vmatrix} = \frac{\alpha(x_{f-1}^f - 1)}{(1 + (\alpha - 1)x_{f+1}^f)^2} (1 + (\alpha - 1)x_{f+2}^f)^2$$

$$[y^2, [y^2, z]](x) = \begin{vmatrix} & 0 \\ & \frac{\alpha(x_{f-1}^f - 1)}{[1 + (\alpha - 1)x_{f+1}^f]^2 [1 + (\alpha - 1)x_f^f]^2} \\ f_{-1} & \left(\begin{array}{c|ccccc} & & & & & \\ \hline & & & & & \\ & & & & & \\ & & & & & \\ & & & & & \\ & & & & & \end{array} \right) \\ f_{-2} & \left(\begin{array}{c|ccccc} & & & & & \\ \hline & & & & & \\ & & & & & \\ & & & & & \\ & & & & & \\ & & & & & \end{array} \right) \end{vmatrix} = \text{Ad}_{y^2}^{f_{-1}} ([y^2, z])(x)$$

On remarque qu'on monte d'un cran à chaque fois que l'on calcule le crochet $\text{Ad}_{y^2}^k ([y^2, z])$ et ce pour $k = f, f-1, \dots, 2$.

De plus les crochets ont la forme ci-dessous.

$$\text{Ad}^k y^2([y^2, z]) = \begin{vmatrix} & & 0 \\ & \frac{(-1)^{f-(k-1)} \alpha^{f-(k-1)} (x_{f-1})}{\prod_{i=f}^k (1 + (\alpha-1)x_{i+1})^2} & \\ k - & & \\ & \vdots & \\ & \vdots & \\ f+2 - & & 0 \end{vmatrix}$$

Bien sur il n'est donné ici que la forme de la $k^{\text{ème}}$ et première composante se trouvant sur la ligne k .

Pour avoir le $n^{\text{ème}}$ crochet on combine le $(n-1)^{\text{ème}}$ crochet connu (cad $\text{Ad}^k y^2([y^2, z])$) avec y^2 .
si : on calcule le crochet :

$$[y^2, \text{Ad}^k y^2([y^2, z])] (x)$$

Après calcul on obtient :

$$\left| \frac{(-\alpha)^f (x_{f-1}-1) \cdot H}{\prod_{i=f}^k (1 + (\alpha-1)x_{i+1})^2} \right|$$

$$[y^2, \text{Ad}^k y^2([y^2, z])] (x) =$$

$f+2$



$i = f, f-1, \dots, 1$

$$\text{On voit que : } \frac{(-\alpha)^{f-(k-1)} \alpha^{f-(k-1)} (x_{f-k-1})}{\prod_{i=f}^k (1 + (\alpha-1)x_{i+1})^2} \quad (k = f, \dots, 2)$$

est toujours différent de zéro car $x \in]0, 1[$ et $\alpha > 1$

Aussi $\frac{(-\alpha)^f (x_{f-1})}{\prod_{i=f}^k (1 + (\alpha-1)x_{i+1})^2} \neq 0$ pour les mêmes raisons.

Il est facile de montrer que tous ces f crochets sont linéairement indépendants entre eux et avec les $(m-f)$ crochets déjà générés.

Conclusion :

Nous sommes arrivés à générer m crochets linéairement indépendants, et ce en munissant l'espace vectoriel des champs de vecteurs engendré par la famille \mathcal{F} , de la loi crochet.

Donc, l'algèbre de Lie engendré par \mathcal{F} est de rang m pour tout x de M .

$$r(\mathcal{L}(\mathcal{F})) = m, \forall x \in M$$

IV DETERMINATION DE U_1 ET U_2 POSITIVES

L'objectif est de trouver U_1 et U_2 permettant la réalisation d'une meilleure performance sur les concentrations du produit de tête et du produit de fond, c'est-à-dire augmenter x_1 et diminuer x_n .

Dans [1] on est arrivé aux résultats ci-dessous

$$(4.1) \quad \begin{cases} U_1 = \alpha_1(x) + v_1 \beta_{11}(x) + v_2 \beta_{21}(x) \\ U_2 = \alpha_2(x) + v_1 \beta_{12}(x) + v_2 \beta_{22}(x) \end{cases}$$

avec :

$$\alpha_1(x) = \frac{(1-M_n)x_n}{x_{n-1}-x_n} \cdot \frac{\lambda_2(x_1, x_n)}{M_2 x_2 - x_1} - \frac{L_f}{H} \frac{x_{n-1}}{x_{n-1}-x_n} + \frac{\lambda(x_1, x_n)}{x_{n-1}-x_n}$$

$$\alpha_2(x) = \frac{\lambda_2(x_1, x_n)}{M_2 x_2 - x_1}$$

$$(4.2) \quad \beta_{11}(x) = \frac{(1-M_n)x_n}{x_{n-1}-x_n} \cdot \frac{\Gamma_{12}(x_1, x_n)}{M_2 x_2 - x_1} + \frac{\Gamma_{11}(x_1, x_n)}{x_{n-1}-x_n}$$

$$\beta_{12}(x) = \frac{\Gamma_{12}(x_1, x_n)}{M_2 x_2 - x_1}$$

$$\beta_{21}(x) = \frac{(1-M_n)x_n}{x_{n-1}-x_n} \cdot \frac{\Gamma_{22}(x_1, x_n)}{M_2 x_2 - x_1} + \frac{\Gamma_{21}(x_1, x_n)}{x_{n-1}-x_n}$$

$$\beta_{22}(x) = \frac{\Gamma_{22}(x_1, x_n)}{M_2 x_2 - x_1}$$

$$v_i \in \mathbb{R} \quad (i=1,2)$$

de système final, perturbations dues à x_F rejetées a pour équation:

$$(4.3) \left\{ \begin{array}{l} \ddot{x}_1 = \frac{H}{H_D} \left[\lambda_2(x_1, x_n) + v_1 f_{12}(x_1, x_n) + v_2 f_{22}(x_1, x_n) \right] \\ \ddot{x}_n = \frac{H}{H_B} \left[\lambda_1(x_1, x_n) - \frac{L_F}{H} x_n + f_{11}(x_1, x_n).v_1 + f_{21}(x_1, x_n).v_2 \right] \\ y = {}^t(x_1, x_n) \end{array} \right.$$

les fonctions f_{ij} et λ_i ($i=1,2$; $j=1,2$) sont soumises à certaines contraintes afin de réaliser $v_1 > 0$ et $v_2 > 0$.

Dans notre cas :

$$\text{et } M_2 x_2 - x_1 > 0$$

$$x_{n-1} - x_n > 0$$

alors on doit avoir

λ_2 , f_{12} et f_{22} positives

$$\lambda_1 > \frac{L_F}{H} \cdot x_{n-1} > 0$$

$$f_{11} > (1 - M_n) x_n - \frac{f_{12}}{M_2 x_2 - x_1} < 0$$

$$f_{21} > (1 - M_n) x_n - \frac{f_{22}}{M_2 x_2 - x_1} < 0$$

de plus α_1 , α_2 , λ_1 et λ_2 doivent avoir une dimension de l'inverse d'un temps, par contre les f_{ij} n'ont pas dimension.

En combinant (4.1), (4.2) et (4.3) on obtient:

$$(4.4) \left\{ \begin{array}{l} U_1 = \frac{1}{x_{n-1} - x_n} \left[\frac{(M_{n-1}) x_n}{M_2 x_2 - x_1} \cdot \frac{H_D}{H} \ddot{x}_1 + \frac{H_B}{H} \ddot{x}_n + \frac{L_F}{H} (x_n - x_{n-1}) \right] \\ U_2 = \frac{H_D}{H} \cdot \frac{\dot{x}_1}{M_2 x_2 - x_1} = \frac{V}{H} \end{array} \right.$$

$$\left. \begin{array}{l} M_2 x_2 - x_1 > 0 \\ U_2 > 0 \end{array} \right\} \Rightarrow \dot{x}_1 > 0$$

$$\left. \begin{array}{l} x_{n-1} - x_n > 0 \\ U_1 > 0 \end{array} \right\} \Rightarrow \frac{(M_{n-1}) x_n}{M_2 x_2 - x_1} \cdot \frac{H_D}{H} \dot{x}_1 + \frac{H_B}{H} \dot{x}_n + \frac{L_F}{H} (x_n - x_{n-1}) > 0 \quad (4.5)$$

$$\frac{H_D}{H} \dot{x}_1 = \frac{V}{H} (M_2 x_2 - x_1)$$

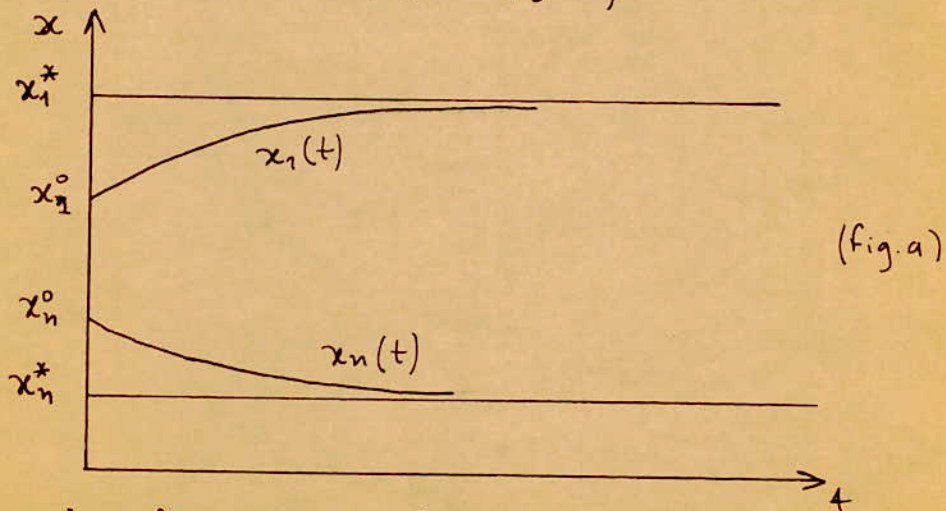
et

$M_n x_n - x_{n-1} > 0$ dans un voisinage de l'état stable désiré
(puisque l'inégalité est toujours vraie en régime permanent)

On cherche à réaliser

$$(M_{n-1}) x_n \frac{V}{H} + \frac{H_B}{H} \dot{x}_n + \frac{L_F}{H} (1 - M_n) x_n > 0 \quad (4.6)$$

Nous nous proposons de chercher des réponses du premier ordre pour x_1 et x_n (voir fig.a)



$$\text{Avec } x_1^* = \lim_{t \rightarrow \infty} x_1, \quad x_1^o = x_1(0)$$

$$x_n^* = \lim_{t \rightarrow \infty} x_n, \quad x_n^o = x_n(0)$$

De plus on doit avoir $\lim_{t \rightarrow \infty} \dot{x}_1 = 0$ et $\lim_{t \rightarrow \infty} \dot{x}_n = 0$

$$\text{Choisissons } \dot{x}_1 = \frac{x_1^* - x_1}{\tau_1}$$

où τ_1 est la constante de temps de $x_1(t)$ qu'on doit choisir de manière réaliste

Recherchons \ddot{x}_n sous la forme :

$$\ddot{x}_n = \frac{x_n^* - x_n}{\tau_2}$$

le problème revient à déterminer τ_2

$$(4.6) \Rightarrow \ddot{x}_n > \frac{(M_{n-1})x_n(L_F - V)}{H_B}$$

avec $V > L_F$ (inégalité vérifiée en fonctionnement normal)

$$M_1^* - 1 < M_{n-1} \Rightarrow \frac{(M_{n-1})x_n(L_F - V)}{H_B} < \frac{(M_1^* - 1)x_n(L_F - V)}{H_B}$$

$$\text{or } M_1^* = \frac{\alpha}{1 + (\alpha - 1)x_1^*}$$

On cherche un \ddot{x}_n tel que :

$$\ddot{x}_n > \frac{M_1^* - 1}{H_B} x_n (L_F - V)$$

$$\text{On prend : } \ddot{x}_n = \frac{(M_1^* - 1)(V_0 - L_F)}{H_B} (\ddot{x}_n - x_n)$$

$$\text{avec } \begin{cases} V_0 \leq V & (4.7) \\ V_0 > L_F & (4.8) \end{cases}$$

ou bien :

$$\ddot{x}_n = \frac{x_n^* - x_n}{\tau_2} \quad \text{avec} \quad \tau_2 = \frac{H_B}{(M_1^* - 1)(V_0 - L_F)}$$

en reportant \ddot{x}_1 et \ddot{x}_n dans (4.4) on aura :

$$(4.9) \left\{ \begin{array}{l} U_1 = \frac{1}{x_{n-1} - x_n} \left[\frac{(M_{n-1})x_n}{M_2 x_2 - x_1} \cdot \frac{H_D}{H \tau_1} (x_1^* - x_1) + \frac{H_B}{H \tau_2} (x_n^* - x_n) + \frac{L_F}{H} (x_n - x_{n-1}) \right] \\ U_2 = \frac{H_D}{H \tau_1} \cdot \frac{x_1^* - x_1}{M_2 x_2 - x_1} \end{array} \right.$$

Remarque :

Pour avoir $U_1 > 0$, il faut choisir V_0 tel que les inégalités (4.7) et (4.8) soient vérifiées, ou bien faire une majoration convenable sur \ddot{x}_n .

V. SIMULATION

On a utilisé la méthode de Range-Kutta pour intégrer le système d'équations différentielles.

$$\dot{x}(t) = f(x(t), u(t))$$

$$\text{i.e.: } x(KT+T) = x(KT) + T f(x(KT), u(KT))$$

avec T la période d'échantillonnage.

Notations utilisées

K : indice comptant le nombre de vecteurs à imprimer

L : indice qui compte le nombre d'itération

NI : période d'impression

NV : nombre de vecteurs à imprimer

MF : numéro du plateau d'alimentation

J : numéro du plateau

N : nombre de plateaux

A₁₁ : α

A₁₃ : β_1

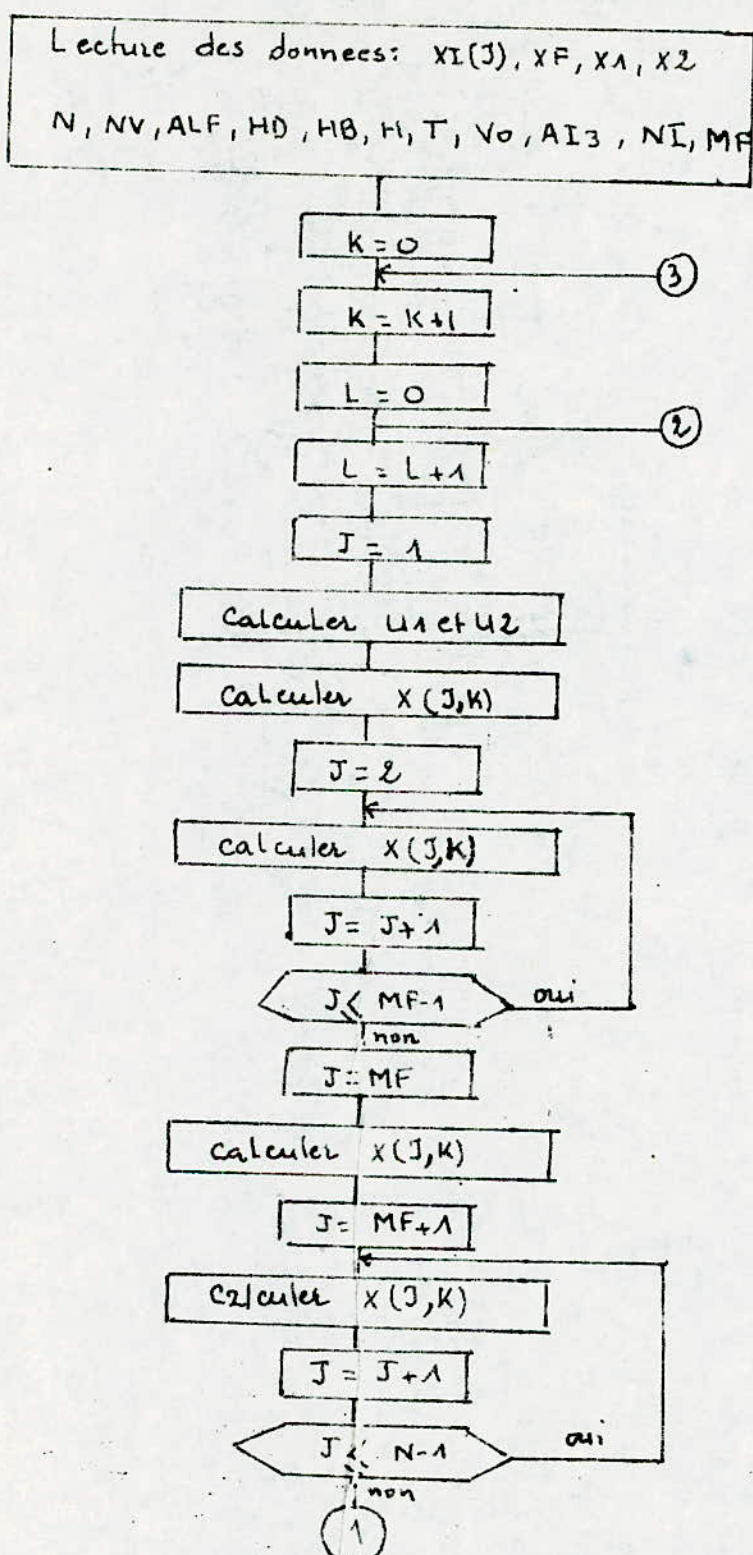
V : V₀

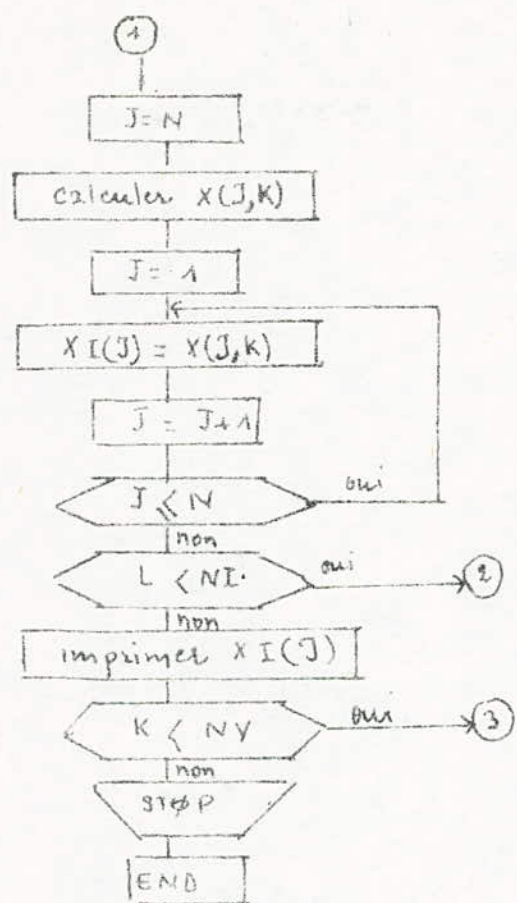
ALF : LF

x₁ : x_1^*

x₂ : x_2^*

5.1 ORGANIGRAMME DE L'INTEGRATION





5.2 PROGRAMME

```
DIMENSION X(10,40), XI(10)
DOUBLE PRECISION AM1, AM2, AM
READ (5,100)(XI(J), J=1,10), XF, X1, X2
WRITE(6,200)(XI(J), J=1,10), XF, X1, X2
READ (5,300) AI1, MF, N, NY, NI
WRITE(6,400) AI1, MF, N, NY, NI
READ (5,500) ALF, HD, HB, H
WRITE(6,600) ALF, HD, HB, H
READ (5,700) T
WRITE(6,700) T
READ (5,800) V, AI3
WRITE(6,800)V, AI3
DO 1 K= 1, NY
L=0
5 L=L+1
X3 = XI(1)
X4 = XI(L)
X5 = XI(10)
X6 = XI(9)
AM3 = AI1 / (1 + (AI1-1)*X1)
PROD7 = (V-ALF)*(AM3-1)
TAU2 = HB / PROD7
AI2 = TAU2
AM = AI1*X4 / (1 + (AI1-1)*X4)
DIF7 = AM - X3
DIF8 = X1-X3
PROD8 = HD / (H*AI3)
PROD9 = PROD8*DIF8
U2 = PROD9/DIF7
DIF9 = X6-X5
AMN = AI1 / (1 + (AI1-1)*X5)
PROD10 = AMN*X5
DIF10 = PROD10-X5
PRA = U2*DIF10
PR2 = HB*(X2-X5) / (H*AI2)
PR3 = ALF / H*(X5-X6)
U1 = (PRA + PR2 + PR3) / DIF9
AM = AI1*X1 / (1 + (AI1-1)*XI(1))
DIF1 = AM - XI(1)
PRODA = H/HD * DIF1
FIA = PRODA*U2
X(1,K) = XI(1) + T*FIA
I = 4
DO 2 J= 2, I
R1 = XI(J)
R2 = XI(J+1)
R3 = XI(J-1)
```

$$AM2 = A11 * R2 / (1 + (A11 - 1) * R2)$$

$$DIF2 = R3 - R1$$

$$PROD2 = DIF2 * U1$$

$$DIF3 = AM2 - AM1$$

$$PROD3 = DIF3 * U2$$

$$FI = RR0J & + PROD3$$

$$VAL = T * FI$$

$$X(J,K) = XI(J) + VAL$$

2 CONTINUE

$$J = MF$$

$$DIF4 = XF .. XI(J)$$

$$PROD4 = ALF / H * DIF4$$

$$R1 = XI(J)$$

$$R2 = XI(J+1)$$

$$R3 = XI(J-1)$$

$$AM1 = A11 * R1 / (1 + (A11 - 1) * R1)$$

$$AM2 = A11 * R2 / (1 + (A11 - 1) * R2)$$

$$DIF2 = R3 - R1$$

$$PROD2 = DIF2 * U1$$

$$DIF3 = AM2 - AM1$$

$$PROD3 = DIF3 * U2$$

$$YY = PROD2 + PROD3$$

$$FI = YY + PROD4$$

$$VAL = T * FI$$

$$X(J,K) = XI(J) + VAL$$

$$KK = N-1$$

$$JJ = M+1$$

DO 3 J = JJ, KK

$$DIF5 = XI(J-1) - XI(J)$$

$$PROD5 = ALF / H * DIF5$$

$$R1 = XI(J)$$

$$R2 = XI(J+1)$$

$$R3 = XI(J-1)$$

$$AM1 = A11 * R1 / (1 + (A11 - 1) * R1)$$

$$AM2 = A11 * R2 / (1 + (A11 - 1) * R2)$$

$$DIF2 = R3 - R1$$

$$PROD2 = DIF2 * U1$$

$$DIF3 = AM2 - AM1$$

$$PROD3 = DIF3 * U2$$

$$Z2 = PROD2 + PROD3$$

$$FI = Z2 + PROD5$$

$$VAL = T * FI$$

$$X(J,K) = XI(J) + VAL$$

3 CONTINUE

$$J = N$$

$$DIF6 = XI(J-1) - XI(J)$$

$$PROD6 = ALF / H * DIF6$$

$$R1 = XI(J)$$

$R_3 = X_I(J-1)$
 $A_{M1} = A_{I1} * R_1 / (1 + (A_{I1}-1) * R_1)$
 $DIF2 = R_3 - R_1$
 $PROD2 = DIF2 * U_1$
 $DIF3 = R_1 - A_{M1}$
 $PROD3 = DIF3 * U_2$
 $TT = PROD3 + PROD2$
 $SS = TT * H/HB$
 $FI = SS + PROD6$
 $VAL = T * FI$
 $X(J, K) = X_I(J) + VAL$
 $DO4 J = 1, N$
 $X_I(J) = X(J, K)$
4 CONTINUE
IF (L.LT.NI) GOTO 5
WRITE (6,50)(X_I(J), J=1,N), U1, U2
IF (K.LT.20) GOTO 1
XF = 0.3864
1 CONTINUE
100 FORMAT (13F5.3)
200 FORMAT (10(1X,F5.4)/3(1X,F5.4))
300 FORMAT (F3.1, I1, I2, I8, I3)
400 FORMAT (1X, F5.3/3(1X, I2), 1X, I3)
500 FORMAT (F6.3, 3F5.1)
600 FORMAT (1X, F6.3/3(1X, F5.1))
700 FORMAT (1X, F4.2)
800 FORMAT (1X, F4.2, F5.0)
50 FORMAT (10(1X, F8.6), 6(1X, F8.4))
STOP
END

5.3. APPLICATION

L'application a été faite pour un eos tout à fait arbitraire de colonne à distiller comportant 10 plateaux.

Etat initial

0, 8906	valeurs utilisées en simulation
0, 8031	$x_F = 0, 5964$, $\alpha = 2$.
0, 7219	$H = 25$ moles, $H_A = 100$ moles, $H_B = 200$ moles
0, 6528	$LF = 0, 066$ moles/s
0, 5984	$T = 0, 5A$
0, 5690	$\tau_1 \approx 17$ mn $\tau_2 \approx 33$ mn
0, 5214	$N = 10$, $N_A = 40$, $N_E = 200$ puis 400
0, 4501	L'alimentation se fait au plateau 5
0, 3548	
0, 2425	

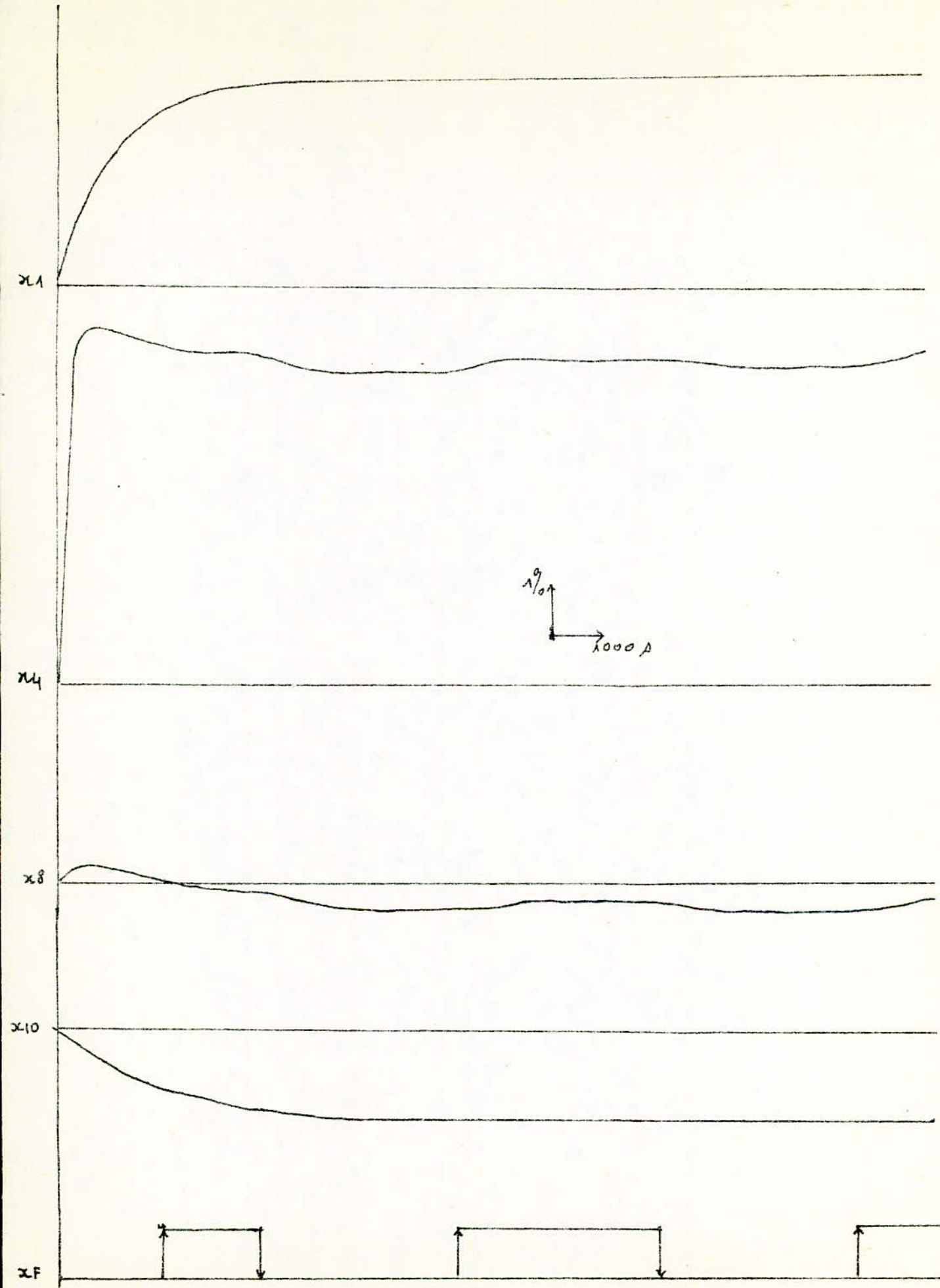
Il a été effectué des échelons de consigne de 4%, -2% et 1% respectivement sur x_1 , x_m et x_F

Les résultats obtenus sont dressés au tableau I

Le tracé effectué en fig (e) représente la variation de x_1 , x_4 , x_8 et x_{10} en fonction du temps.

TABLEAU. I.

x_i $t(s)$	x_1	x_2	x_3	x_4	x_5	x_6	x_7	x_8	x_9	x_{10}
0000	0,8906	0,8031	0,7219	0,6528	0,5984	0,5690	0,5214	0,4501	0,3548	0,2455
	0,9125	0,8612	0,7384	0,7250	0,6444	0,6037	0,5312	0,4547	0,3491	0,2388
1600	0,9224	0,8669	0,7933	0,7217	0,6394	0,6002	0,5387	0,4620	0,3454	0,2344
2400	0,9269	0,8683	0,7987	0,7198	0,6390	0,5986	0,5363	0,4492	0,3426	0,2314
	0,9289	0,8696	0,7982	0,7187	0,6378	0,5978	0,5356	0,4482	0,3410	0,2294
4000	0,9298	0,8699	0,7978	0,7178	0,6369	0,5969	0,5347	0,4472	0,3398	0,2281
	0,9302	0,8700	0,7970	0,7163	0,6324	0,5930	0,5319	0,4454	0,3387	0,2272
	0,9303	0,8701	0,7967	0,7147	0,6314	0,5921	0,5308	0,4445	0,3380	0,2266
	0,9304	0,8701	0,7966	0,7145	0,6312	0,5918	0,5305	0,4444	0,3376	0,2262
	0,9304	0,8704	0,7966	0,7145	0,6311	0,5917	0,5304	0,4439	0,3374	0,2259
8000	0,9304	0,8701	0,7966	0,7144	0,6311	0,5916	0,5303	0,4438	0,3372	0,2257
	0,9304	0,8701	0,7973	0,7166	0,6354	0,5949	0,5325	0,4449	0,3375	0,2256
	0,9304	0,8701	0,7974	0,7169	0,6358	0,5956	0,5332	0,4454	0,3377	0,2255
	0,9304	0,8701	0,7974	0,7169	0,6359	0,5957	0,5333	0,4455	0,3377	0,2255
12000	0,9304	0,8701	0,7974	0,7169	0,6359	0,5957	0,5333	0,4455	0,3377	0,2255
	0,9304	0,8701	0,7968	0,7148	0,6316	0,5924	0,5311	0,4443	0,3373	0,2255
	0,9304	0,8701	0,7966	0,7145	0,6311	0,5917	0,5304	0,4438	0,3371	0,2255
	0,9304	0,8701	0,7966	0,7144	0,6310	0,5916	0,5303	0,4437	0,3371	0,2255
	0,9304	0,8701	0,7966	0,7144	0,6310	0,5916	0,5303	0,4437	0,3371	0,2255
16000	0,9304	0,8701	0,7966	0,7144	0,6310	0,5916	0,5303	0,4437	0,3371	0,2255
	0,9304	0,8701	0,7972	0,7165	0,6354	0,5949	0,5324	0,4449	0,3374	0,2255
	0,9304	0,8701	0,7974	0,7169	0,6358	0,5956	0,5332	0,4454	0,3376	0,2255
	0,9304	0,8701	0,7974	0,7169	0,6359	0,5957	0,5333	0,4455	0,3377	0,2255
	0,9304	0,8701	0,7974	0,7169	0,6359	0,5957	0,5333	0,4455	0,3377	0,2255
20000	0,9304	0,8701	0,7974	0,7169	0,6359	0,5957	0,5333	0,4455	0,3377	0,2255



fig(2)

TABLEAU II

Δx_i	x_1	x_2	x_3	x_4	x_5	x_6	x_7	x_8	x_9	x_{10}
0	0,9040	0,8701	0,7974	0,6169	0,6359	0,5957	0,5353	0,4455	0,3377	0,2255
1	0,9040	0,8701	0,7974	0,6169	0,6359	0,5957	0,5353	0,4455	0,3377	0,2255
2	0,9040	0,8701	0,7974	0,6169	0,6359	0,5957	0,5353	0,4455	0,3377	0,2255
3	0,9040	0,8701	0,7974	0,6169	0,6360	0,5957	0,5353	0,4455	0,3377	0,2255
5	0,9040	0,8701	0,7974	0,6169	0,6361	0,5957	0,5353	0,4455	0,3377	0,2255
7	0,9040	0,8701	0,7974	0,6169	0,6362	0,5957	0,5353	0,4455	0,3377	0,2255
8	0,9040	0,8701	0,7974	0,6169	0,6363	0,5957	0,5353	0,4455	0,3377	0,2255
9	0,9040	0,8701	0,7974	0,6169	0,6364	0,5957	0,5353	0,4455	0,3377	0,2255
10	"	"	"	"	0,6365	"	"	"	"	"
11	"	"	"	"	0,6367	"	"	"	"	"
13	"	"	"	"	0,6370	"	"	"	"	"
16	"	"	"	"	0,6375	"	"	"	"	"
18	"	"	"	"	0,6379	"	"	"	"	"
20	"	"	"	0,7170	0,6384	"	"	"	"	"
22	"	"	"	"	0,6385	"	"	"	"	"
24	"	"	"	"	0,6395	"	"	"	"	"
26	"	"	"	"	0,6404	0,5958	"	"	"	"
30	"	"	"	"	0,6424	"	"	"	"	"
32	"	"	"	"	0,6422	"	"	"	"	"
34	"	"	"	0,7171	0,6430	0,5959	"	"	"	"
36	"	"	"	"	0,6438	"	"	"	"	"
38	"	"	"	"	0,6447	"	"	"	"	"
40	"	"	"	"	0,6452	"	"	"	"	"

5.4. Rémarkes :

- 1°) La méthode d'intégration est bien convergente d'après les résultats obtenus.
- 2°) La valeur de αF a été échangée alternativement de $\pm 1\%$ après 33 mn puis encore 33 mn, puis 67 mn en 67 mn durant tout le fonctionnement de la colonne.
- 3°) Partant de l'état stable trouvé (voir tableau I), il a été effectué des échelons de consignes progressifs de 1% jusqu'à 40% sur αF (ceci toutes les 0,5 secondes), les résultats dressés au tableau II montrent que ces perturbations n'affectent en aucun cas les sorties x_1 et x_m qui restent toujours constantes.

5.5. Interpretation des résultats :

- a) On voit que tous les x_i sont dans l'intervalle]0, 1[alors les résultats obtenus ont un sens.
- b) les variations de αF n'influent pas sur les sorties x_1 et x_m (fig (2)) ce qui nous permet de dire que le découplage est réalisé pour ces dernières avec u_1 et u_2 trouvées en IV
- c) $u_1^o = 0,0021$, $u_2^o = 0,0035$ (valeurs à l'état initial)
 $u_1^* = 0,0034$, $u_2^* = 0,0048$ (" " " final)

On voit que $u_1^* > u_1^o$ et $u_2^* > u_2^o$. Le résultat était prévisible du fait qu'il faut augmenter aussi bien la chape que le reflux pour diminuer x_m et augmenter x_1 .
Nous pouvons alors conclure que la distillation se fait dans de bonnes conditions avec les commandes u_1 et u_2 .

- d) l'état stable final est atteint au bout de 3^h environ avec une erreur de $1/1000$ sur x_1 et 0 sur x_m , ce qui est en parfait cohérence avec la réalité.

VI. CONCLUSIONS

- 1) Les commandes U_1 et U_2 trouvées en Σ fonctionnent bien, à condition de se placer dans les boucles fermées B_1 ($n^*, 4\%$) et B_2 ($n^*, 2\%$) respectivement pour n_1 et n_2 . Toute fois, il serait possible de réaliser de meilleures performances sur x_1 et x_2 et d'améliorer le temps de réponse, etc., en diminuant G_1 et G_2 tout en faisant attention de ne pas "casser le système".
- 2) Nous pensons que la détermination des commandes par retour d'état non linéaire puissent améliorer les résultats obtenus par les techniques de linéarisation autour du point d'équilibre.
- 3) Il serait intéressant de particulariser ces résultats à un cas concrèt de colonne, ce qui est loin d'être banal et peut faire l'objet d'un autre projet.
- 4) Dans cette étude, il est fait abstraction de complète contrôlabilité et stabilité du système, notions qui restent placées dans le non linéaire, en particulier la stabilité qui n'a été étudiée que dans des cas particuliers.

Compte tenu de tout cela, nous sommes ~~convaincu~~ que notre travail reste à compléter et ne peut présenter qu'un début d'application du D.O.P et de la contrôlabilité dans les systèmes non linéaires.

Bibliographie

- [1]. S. BACHA - M. IDIR : "Approche géométrique du problème de la rejection des perturbations (D.D.P), Application à un modèle non Linéaire de colonne à distiller".
Projet de fin d'étude - E.N.P.A. - Promotion janvier 1982.
- [2]. M. Mention, G. Gobon, J. Mercier : "Distillation : étude théorique".
Techniques de L'ingénieur - génie chimique - T. 3
- [3]. T. Tokamatsu, I. Mashimoto, Y. Nakai : "A Geometric approach to Multivariable control system design of a distillation column"
Automatica, Vol. 15. p.p. 387-402 (Mars 1979)
- [4]. G. Bonard. "Contribution à l'étude des modèles de colonnes à distiller" - thèse d'état - Université de Grenoble (1971)
- [5]. G. Bonard - J.P. Gauthier : "Modélisation dynamique des colonnes à distiller". (*)
- [6]. A. Isidori : "sur la théorie structurelle et le problème de la rejection des perturbations dans les systèmes non Linéaires" (*)
- [7]. A. Isidori, A.J. Krener, C. Gori Giorgi, S. Monaco : "Non Linear decoupling via feedback: a differential geometric approach"
I.E.E.E trans. Aut. Control (1979).
- [8]. R.M. Hirshorn : "(AB)-invariance distribution and the disturbance problem, decoupling problem of non-Linear system".
SIAM J. Control and optimisation. Vol. 19. N° 1 (Janvier 1981)
- [9]. J.P. Gauthier : "Structure des systèmes non Linéaires" (à paraître)
- [10]. C. Lobry : "Controlabilité des systèmes non-Linéaires" (*)
- [11]. R. Hermann, A.J. Krener : "Non Linear controllability and observability"
I.E.E.E trans. Aut. Control Volume AC-22 N° 5 (1977)

[12]. Jean François Levenq: "Le Fortran: Langage Scientifique des Ordinateurs". Editions DUNOD - PARIS 1971.

[13]. M. Dreyfus: "Fortran IV". 4^e édition DUNOD - 1970.
Autres références:

[14]. H. Nijmeijer: "controlled invariance for affine control systems"
Stiching Mathematic Centrum (1981)

[15]. L. Auslander, R.E. Mackenzie: "Introduction to differentiable manifolds". Dover publication (1977).

[16]. Laurent Schwartz: "cours d'analyse" Tome I et II
Editions HERMANN - PARIS 1967.

[17] - Pontriaguine: "Equations différentielles ordinaires". Editions MIR. Moscow 1974

[18] - V. Smirnov: "Cours de mathématiques supérieurs" Tome II. Editions MIR. Moscow 1974

[19]. M. Berger, B. Gostiaux: "Géométrie différentielle".
Maîtrise de Mathématiques. Collection V
Librairie ARMAND COLLIN - PARIS 1972.



(**) "Outils et modèles mathématiques pour l'automatique, l'analyse des systèmes et le traitement du signal". Vol 1. Editions du CNRS (1981).